

一対辺自由な3一方角連続矩形板の固有周期算定法

九州大学 工学部 正員 山崎 徳也

〃 〃 〃 棚木 武

〃 大学院 学生員 横田 漢

1. 緒言

連続板の固有周期算定法として倉田教授の論文⁽¹⁾があるが、これは一対辺が単純支承でかつ中间支承部のためみがない等径間一方角連続板に關し、差分法を用いて解いたものである。先く、著者らは振動にわたり角一端モーメント関係式によ3連続板の固有周期算定法を発表したが⁽²⁾、これによれば前記文献(1)は勿論のこと、外周辺が固定または単純支承の一方角および二方角連続板の固有周期を全て求めることを示す。また中间支承部のためみも考慮することができる。しかし上記二論文はいずれも自由辺を含む連続板に關してその適用は出来ず、また著者らの知識からこの分野に関する研究は未だ見当らない。

本論文は自由辺を含む連続板の固有周期算定法の第一報として、図-1に示すごとく一対辺が自由で種々の端辺条件を持つ一方角連続板を取り上げ、前記文献(2)と同様、振動にわたり角一端モーメント関係式を誇導し、これを用いてその固有周期を算定せんとするものである。

2. 振動にわたり角一端モーメント関係式の誇導

等方性平面板の自由振動の基礎微分方程

式は周知のとく次式で表わされる。

$$\rho h \frac{\partial^4 w}{\partial t^4} + D \left\{ \frac{\partial^4 w}{\partial x^4} + 2 \frac{\partial^4 w}{\partial x^2 \partial y^2} + \frac{\partial^4 w}{\partial y^4} \right\} = 0 \quad (1)$$

ただし ρ : 板の密度, h : 板の厚さ — (1) w : t 時刻における任意点(x, y)のたわみ

D: 板剛度

式(1)の解として次式を仮定する。

$$w = V \cos \omega t \quad (2)$$

ただし ω は固有振動数であり、 x, y の2つの函数である。

式(2)を式(1)に代入すれば以下に關する次式がえられる。

$$\frac{\partial^4 v}{\partial x^4} + 2 \frac{\partial^4 v}{\partial x^2 \partial y^2} + \frac{\partial^4 v}{\partial y^4} - \frac{\rho h \omega^2}{D} v = 0 \quad (3)$$

図-2に示すごとく、一対辺が自由で他辺が単純支承の矩形板において辺CをX軸、辺AをY軸とし、辺C, Dを辺A, Bの長さをそれぞれ a, b とする。しかる後式(3)の一般解を次のとく假定する。

$$v = \sum_{n=1}^{\infty} X_n(x) \sin \frac{n\pi}{a} y + \sum_{m=1}^{\infty} Y_m(y) \sin \frac{m\pi}{b} x \quad (4)$$

式(4)を式(3)に代入すれば $X_n(y), Y_m(x)$ として次式をうる。

図-1

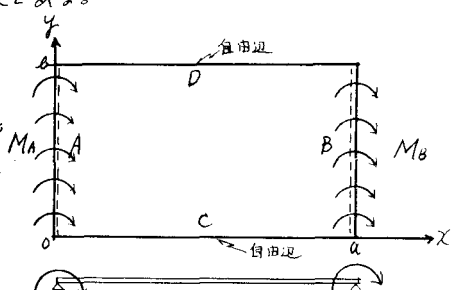
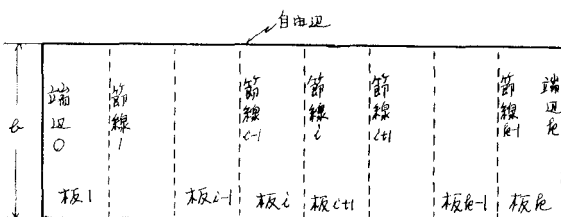


図-2

$$\begin{aligned} X_n(y) &= A_n^x \sinh \pi n y/a + B_n^x \cosh \pi n y/a + C_n^x \sinh \pi n y/b + D_n^x \cosh \pi n y/b \\ Y_m(x) &= A_m^y \sinh \pi m x/a + B_m^y \cosh \pi m x/a + C_m^y \sinh \pi m x/b + D_m^y \cosh \pi m x/b \end{aligned} \quad (5)$$

$$\mu > \frac{a^2}{\alpha^2} n^2, \quad \mu' > \frac{a^2}{\alpha^2} m^2 n^2$$

$$X_n(\eta) = A_n^x \sinh \pi \lambda_n \eta + B_n^x \cosh \pi \lambda_n \eta + C_n^x \sin \pi \lambda_n \eta + D_n^x \cos \pi \lambda_n \eta \quad (5)$$

$$Y_m(\eta) = A_m^y \sinh \pi \lambda_m \eta + B_m^y \cosh \pi \lambda_m \eta + C_m^y \sin \pi \lambda_m \eta + D_m^y \cos \pi \lambda_m \eta$$

$$\text{ただし } \lambda_n^2 = \frac{a^2}{\alpha^2} n^2 + \mu, \quad \lambda_m^2 = \frac{a^2}{\alpha^2} n^2 - \mu, \quad \mu = \frac{\omega}{\pi^2} \alpha^2 \sqrt{\frac{P}{D}}, \quad \lambda_m^2 = \frac{a^2}{\alpha^2} m^2 + \mu', \quad \lambda_m'^2 = \frac{a^2}{\alpha^2} m^2 - \mu'$$

$$\mu' = \frac{\omega}{\pi^2} \alpha^2 \sqrt{\frac{P}{D}}, \quad \lambda_m' = \sqrt{\mu - \frac{a^2}{\alpha^2} n^2}, \quad \lambda_m = \sqrt{\mu' - \frac{a^2}{\alpha^2} m^2}, \quad \eta = \frac{x}{a}, \quad \eta' = \frac{y}{a}$$

左辺 $\mu > \frac{a^2}{\alpha^2} n^2, \quad \mu' > \frac{a^2}{\alpha^2} m^2$ の場合の解は式(5)と同様である。以後式(5)を用いての計算は省略する。

式(5)を式(4)に代入すれば以下が次式のようになる。

$$V = \sum_{n=1}^{\infty} (A_n^x \sinh \pi \lambda_n \eta + B_n^x \cosh \pi \lambda_n \eta + C_n^x \sin \pi \lambda_n \eta + D_n^x \cos \pi \lambda_n \eta) \sin n \pi \eta + \sum_{m=1}^{\infty} (A_m^y \sinh \pi \lambda_m \eta + B_m^y \cosh \pi \lambda_m \eta + C_m^y \sin \pi \lambda_m \eta + D_m^y \cos \pi \lambda_m \eta) \sin m \pi \eta \quad (6)$$

ただし $A_n^x \sim D_n^x, \quad A_m^y \sim D_m^y$ は積分定数。

図-2で示すように単純支持板 A, B が端モードと MA, MB が作用し、左右に支承された A, B が起きたとき、これらを正弦 Fourier 級数で展開すれば、 $\eta = 0, 1$ における境界条件は次のようになる。

$$\eta = 0 : -D \left(\frac{\partial^2 V}{\partial x^2} + V \frac{\partial^3 V}{\partial y^2} \right)_{\eta=0} = M_A = \sum_{n=1}^{\infty} M_{An} \sin n \pi \eta, \quad (V)_{\eta=0} = S_A = \sum_{n=1}^{\infty} S_{An} \sin n \pi \eta \quad (7)$$

$$\eta = 1 : -D \left(\frac{\partial^2 V}{\partial x^2} + V \frac{\partial^3 V}{\partial y^2} \right)_{\eta=1} = M_B = -\sum_{n=1}^{\infty} M_{Bn} \sin n \pi \eta, \quad (V)_{\eta=1} = S_B = \sum_{n=1}^{\infty} S_{Bn} \sin n \pi \eta$$

式(6)を式(7)に代入すれば、積分定数 $A_n^x \sim D_n^x$ が求まり次式のようになる。

$$A_n^x = \frac{\alpha^2}{\pi^2 (\lambda_n^2 - \lambda_m^2)} \sinh \pi \lambda_n \eta \left(\frac{M_{An}}{D} + \frac{M_{Bn}}{D} \right) + \frac{\lambda_n^2 - \nu n^2 \alpha^2 / \alpha^2}{(\lambda_n^2 - \lambda_m^2) \sinh \pi \lambda_n} (S_{An} \cosh \pi \lambda_n - S_{Bn})$$

$$B_n^x = \frac{-\alpha^2}{\pi^2 (\lambda_n^2 - \lambda_m^2)} \frac{M_{An}}{D} - \frac{\lambda_n^2 - \nu n^2 \alpha^2 / \alpha^2}{\lambda_n^2 - \lambda_m^2} S_{An}$$

$$C_n^y = \frac{\alpha^2}{\pi^2 (\lambda_n^2 - \lambda_m^2) \sinh \pi \lambda_n} \left(\frac{M_{An}}{D} + \frac{M_{Bn}}{D} \right) + \frac{\lambda_n^2 - \nu n^2 \alpha^2 / \alpha^2}{(\lambda_n^2 - \lambda_m^2) \sinh \pi \lambda_n} (S_{An} \cosh \pi \lambda_n - S_{Bn})$$

$$D_n^y = \frac{-\alpha^2}{\pi^2 (\lambda_n^2 - \lambda_m^2)} \frac{M_{An}}{D} - \frac{\lambda_n^2 - \nu n^2 \alpha^2 / \alpha^2}{\lambda_n^2 - \lambda_m^2} S_{An} \quad (8)$$

また自由端における境界条件は次の通りである。

$$\eta = 0, 1 : \frac{\partial^2 V}{\partial y^2} + V \frac{\partial^3 V}{\partial x^2} = 0, \quad \frac{\partial^3 V}{\partial y^3} + (2-\nu) \frac{\partial^3 V}{\partial x^2 \partial y} = 0 \quad (9)$$

式(6)を式(9)に代入すれば、残りの積分定数 $A_n^y \sim D_n^y$ が次のようになる。

$$A_n^y = -\frac{2}{\pi} \frac{\lambda_n^2 - \nu m^2 \alpha^2 / \alpha^2}{W} \sum_{n=1}^{\infty} K \left(T(-1)^n + \cosh \pi \lambda_n \{ (-1)^n - \cosh \pi \lambda_n \} + T \sinh \pi \lambda_n \sinh \pi \lambda_n \right)$$

$$B_n^y = \frac{2}{\pi} \frac{\lambda_n^2 - \nu m^2 \alpha^2 / \alpha^2}{W} \sum_{n=1}^{\infty} K \left(T \sinh \pi \lambda_n \{ (-1)^n - \cosh \pi \lambda_n \} - T \sinh \pi \lambda_n \{ (-1)^n - \cosh \pi \lambda_n \} \right)$$

$$C_n^y = -\frac{2}{\pi} \frac{\lambda_n^2 - \nu m^2 \alpha^2 / \alpha^2}{W} \sum_{n=1}^{\infty} K \left(T \{ (-1)^n + \cosh \pi \lambda_n \} \{ (-1)^n - \cosh \pi \lambda_n \} + T \sinh \pi \lambda_n \sinh \pi \lambda_n \right)$$

$$D_n^y = \frac{2}{\pi} \frac{\lambda_n^2 - \nu m^2 \alpha^2 / \alpha^2}{W} \sum_{n=1}^{\infty} K \left(T \sinh \pi \lambda_n \{ (-1)^n - \cosh \pi \lambda_n \} - T \sinh \pi \lambda_n \{ (-1)^n - \cosh \pi \lambda_n \} \right) \quad (10)$$

$$\text{ただし } T = -\lambda_n^2 (\lambda_n^2 - \nu m^2 \alpha^2 / \alpha^2) \frac{mn}{(\lambda_n^2 + m^2)(\lambda_n^2 + m^2)}, \quad \bar{V} = -\lambda_n^2 (\lambda_n^2 - \nu m^2 \alpha^2 / \alpha^2) \frac{mn}{(\lambda_n^2 + m^2)(\lambda_n^2 + m^2)}$$

$$W = -2 \lambda_m \lambda'_m (\lambda_n^2 - \nu m^2 \alpha^2 / \alpha^2) (\lambda_m^2 - \nu m^2 \alpha^2 / \alpha^2) (1 - \cosh \pi \lambda_m \cosh \pi \lambda'_m) - \{ (\lambda_n^2 - \nu m^2 \alpha^2 / \alpha^2)^2 \lambda_n^2 + (\lambda_m^2 - \nu m^2 \alpha^2 / \alpha^2)^2 \lambda_m^2 \} \sinh \pi \lambda_m \sinh \pi \lambda'_m$$

$$K = \{ (1-\nu)^2 m^2 n^2 + (2-\nu) m^2 \alpha^2 / \alpha^2 \} \{ S_{An} - (-1)^n S_{Bn} \} + \{ n^2 + (2-\nu) m^2 \alpha^2 / \alpha^2 \} \frac{\alpha^2}{\pi^2} \left\{ \frac{M_{An}}{D} + (-1)^n \frac{M_{Bn}}{D} \right\}$$

さて、図-2で示す二つの矩形板において辺 A, B におけるたわみ角は一般にその函数であるが、これを代数函数で表すことは困難であるため、正弦 Fourier 級数を用いて次のようなく展開する。

$$\left(\frac{\partial^2 V}{\partial x^2} \right)_{\eta=0} = \sum_{n=1}^{\infty} Q_{An} \sin n \pi \eta, \quad \left(\frac{\partial^2 V}{\partial x^2} \right)_{\eta=1} = \sum_{n=1}^{\infty} Q_{Bn} \sin n \pi \eta \quad (11)$$

他方、式(6)に関して x の第一次微係数を求め、 $\eta = 0, 1$ を代入すれば辺 A, B におけるたわみ角がえられ、これを式(11)の各左辺に代入し、かつ式(8), (10)の結果を用いれば $Q_{An}, Q_{Bn} \sim M_{An}, M_{Bn}$,

S_{An} , S_{Bn} との関係式が求まり、演算のうえ整理すれば次式をう。

$$Q_{An} = K_n \frac{a}{\pi} \frac{M_{An}}{D} + U_n \frac{a}{\pi} \frac{M_{Bn}}{D} + H_n \frac{\pi}{a} S_{An} + J_n \frac{\pi}{a} S_{Bn} + \sum_{m=1}^{\infty} \left(T_{nm} \frac{a}{\pi} \frac{M_{Am'}}{D} + U_{nm} \frac{a}{\pi} \frac{M_{Bm'}}{D} + R_{nm} \frac{\pi}{a} S_{Am'} + S_{nm} \frac{\pi}{a} S_{Bm'} \right)$$

$$Q_{Bn} = U_n \frac{a}{\pi} \frac{M_{An}}{D} + K_n \frac{a}{\pi} \frac{M_{Bn}}{D} - J_n \frac{\pi}{a} S_{An} - H_n \frac{\pi}{a} S_{Bn} - \sum_{m=1}^{\infty} \left(-U_{nm} \frac{a}{\pi} \frac{M_{Am'}}{D} - T_{nm} \frac{a}{\pi} \frac{M_{Bm'}}{D} + S_{nm} \frac{\pi}{a} S_{Am'} + R_{nm} \frac{\pi}{a} S_{Bm'} \right)$$

たゞし

$$U_n = \frac{1}{\lambda_n^2 - \lambda_m^2} \left(\frac{\lambda_n}{\sinh \pi \lambda_n} - \frac{\lambda_m}{\sinh \pi \lambda_m} \right), \quad K_n = \frac{1}{\lambda_n^2 - \lambda_m^2} (\lambda_n \coth \pi \lambda_n - \lambda_m \coth \pi \lambda_m)$$

$$T_{nm} = \left(\frac{2}{\pi} \right) \sum_{m=1}^{\infty} \left[\left\{ \left(U_1 \sinh \pi \lambda_m (\cosh \pi \lambda_m - (-1)^m) - U_1 \sinh \pi \lambda_m' (\cosh \pi \lambda_m - (-1)^m) \right) \{ n^2 + (2-v) m^2 \ell^2 / a^2 \} \right\}_{n=m'} \right. \\ \times \left. \frac{2mn}{W} \frac{(\lambda_m^2 - \lambda_m'^2)(\lambda_m^2 + \lambda_m'^2 + n^2 - v m^2 \ell^2 / a^2)}{(\lambda_m^2 + n^2)(\lambda_m'^2 + n^2)} \right]$$

$$U_{nm} = \left(\frac{2}{\pi} \right) \sum_{m=1}^{\infty} \left[\left\{ \left(U_1 \sinh \pi \lambda_m (\cosh \pi \lambda_m - (-1)^m) - U_1 \sinh \pi \lambda_m' (\cosh \pi \lambda_m - (-1)^m) \right) \{ n^2 + (2-v) m^2 \ell^2 / a^2 \} \right\}_{n=m'} \right. \\ \times \left. \frac{2(-1)^m mn}{W} \frac{(\lambda_m^2 - \lambda_m'^2)(\lambda_m^2 + \lambda_m'^2 + n^2 - v m^2 \ell^2 / a^2)}{(\lambda_m^2 + n^2)(\lambda_m'^2 + n^2)} \right]$$

$$R_{nm} = \left(\frac{2}{\pi} \right) \sum_{m=1}^{\infty} \left[\left\{ \left(U_1 \sinh \pi \lambda_m (\cosh \pi \lambda_m - (-1)^m) - U_1 \sinh \pi \lambda_m' (\cosh \pi \lambda_m - (-1)^m) \right) \{ (-1)^m n^2 + (2-v) \ell^2 - \ell^2 / a^2 \} \right\}_{n=n'} \right. \\ \times \left. \frac{2mn}{W} \frac{(\lambda_m^2 - \lambda_m'^2)(\lambda_m^2 + \lambda_m'^2 + n^2 - v m^2 \ell^2 / a^2)}{(\lambda_m^2 + n^2)(\lambda_m'^2 + n^2)} \right]$$

$$S_{nm} = \left(\frac{2}{\pi} \right) \sum_{m=1}^{\infty} \left[\left\{ \left(U_1 \sinh \pi \lambda_m (\cosh \pi \lambda_m - (-1)^m) - U_1 \sinh \pi \lambda_m' (\cosh \pi \lambda_m - (-1)^m) \right) \{ (1-v)^2 m^2 n^2 + (2-v) \ell^2 - \ell^2 / a^2 \} \right\}_{n=n'} \right. \\ \times \left. \frac{2(-1)^m mn}{W} \frac{(\lambda_m^2 - \lambda_m'^2)(\lambda_m^2 + \lambda_m'^2 + n^2 - v m^2 \ell^2 / a^2)}{(\lambda_m^2 + n^2)(\lambda_m'^2 + n^2)} \right] \quad (12)$$

式(12)はその内容から明らかに“二端モーメントの正弦フーリエ級数展開式における展開係数間の関係式”である²。既往のはり理論における振動拘束角式の二とく、たわみ角と端モーメントとの関係を直接表わすものではない。かゝる意で、式(12)を板の振動長さが二端モーメント関係式と関係の二字を挿入して称することとする。

3. 節線方程式および連続条件式

連続板の節線上の節線方程式および連続条件式は先に著者らが発表した連続板の解法⁽²⁾の場合と同様にして求められる。すなはち図-1に示す二端モーメントの正弦フーリエ級数展開式におけるモーメントの釣り合い条件式とたわみ角の連続条件より、それそれ次式がえられる。(図-3参照)

$$\text{節線方程式: } M_{BA} + M_{(k+1)A} = 0 \quad (13)$$

$$\text{連続条件式: } Q_{BA} = Q_{(k+1)A} \quad (14)$$

4. 端辺条件

図-1に示す二とくスパン数を定めし。

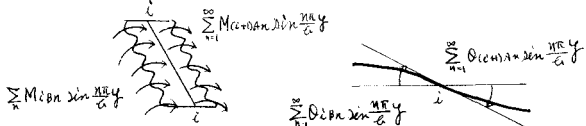


図-3

板1および板2の端辺をそれぞれ端辺Oおよび端辺Pと名付ける。かゝるとき次の二とく端辺条件が与えられる。

	端辺 O	端辺 P
単純支持	$M_{1An} = 0, S_{1An} = 0$	$M_{kBn} = 0, S_{k+n} = 0$
固定支承	$Q_{1An} = 0, S_{1An} = 0$	$Q_{kBn} = 0, S_{kBn} = 0$
自由支承	$M_{1An} = 0, V_{1An} = 0$	$M_{kBn} = 0, V_{kBn} = 0$

(15)

たゞし T_{1An}, V_{kBn} は図-1に示す二とく連続板の頂上における反力 V_{IA} , V_{IB} の正弦フーリエ級数展開式の展開係数である。(式は省略する)

いま連続板の各節線上で式(12)の振動たわみ角一端モーメント関係式を求め、その結果を式(14)の連続条件式に代入し、かつ式(13)の節線方程式および(15)の端辺条件式とあわせれば未知数と固数の方程式をえ、これより図-1に示す二とく連続板に関する振動方程式が導かれ。

5. 振動数方程式

両端固定支承で等断面、等スパンを例として示せば次の通りである。

支承沈下がないものとして、板の、 $i+1$ の節線における式(12)の振動にかけた端モーメント関係式を求めれば次式が与えられる。

$$\begin{aligned} Q_{i+1n} &= K_n \frac{\alpha M_{i+1n}}{D} + K_n \frac{\alpha M_{i+1n}}{D} - \sum_{m=1}^{\infty} \left(-T_{nm} \frac{\alpha M_{im}}{D} - T_{nm} \frac{\alpha M_{im}}{D} \right) \\ Q_{(i+1)n} &= \left[K_n \frac{\alpha M_{i+1n}}{D} + K_n \frac{\alpha M_{i+1n}}{D} + \sum_{m=1}^{\infty} \left(T_{nm} \frac{\alpha M_{im}}{D} + T_{nm} \frac{\alpha M_{im}}{D} \right) \right] \end{aligned} \quad \left. \right\} \quad (16)$$

式(11)と式(16)代入し、 Σ と Σ' 式(13)の関係を用うれば次式が与えられる。

$$L_n M_{(i+1)n} - 2K_n M_{in} + L_n M_{i+1n} + \sum_{m=1}^{\infty} (T_{nm} M_{i+1m} - 2T_{nm} M_{im} + T_{nm} M_{i+1m}) = 0 \quad \dots \quad (17)$$

$$\text{ただし } M_{in} = M_{i+1n} = -M_{(i+1)n} \quad i = 1, 2, 3, \dots, R-1$$

また両端辺の固定条件より次式をうる。

$$\begin{aligned} K_n M_{1n} + L_n M_{1n} + \sum_{m=1}^{\infty} (T_{nm} M_{1m} + T_{nm} M_{1m}) &= 0 \\ L_n M_{Rn} + K_n M_{Rn} - \sum_{m=1}^{\infty} (-T_{nm} M_{Rm} - T_{nm} M_{Rm}) &= 0 \end{aligned} \quad \left. \right\} \quad (18)$$

式(18)の関係を式(17)に用うれば次式が与えられる。

$$\begin{aligned} -K_n M_{1n} + L_n M_{1n} + \sum_{m=1}^{\infty} (-T_{nm} M_{1m} + T_{nm} M_{1m}) &= 0 \\ L_n M_{Rn} - K_n M_{Rn} + \sum_{m=1}^{\infty} (T_{nm} M_{Rm} - T_{nm} M_{Rm}) &= 0 \end{aligned} \quad \left. \right\} \quad (19)$$

式(17), (19)の連立方程式において未知数 $M_{1n}, M_{Rn}, M_{in}, M_{i+1n}, M_{im}$ がすべて 0 にならぬためにはこれら諸式の俈行列式が 0 となる条件より、次の二つとて振動数方程式がえられる。

$$\begin{array}{c|ccccc} (A) & (A) & 0 & & & \\ (B) & (C) & (B) & 0 & & \\ & & & & & \\ & 0 & & & & \\ & (B) & (C) & (B) & 0 & \\ & & & & & \\ & (B) & (A) & & & \\ \hline & & & & & \end{array} \quad \left. \right\} \quad \text{ただし } \quad (A) = \begin{pmatrix} -(K_1 + T_{11}) & -T_{12} & \cdots & \cdots & -T_{1n} \\ -T_{21} & -(K_2 + T_{22}) & \cdots & \cdots & -T_{2n} \\ \vdots & \vdots & & & \vdots \\ -T_{n1} & -T_{n2} & \cdots & \cdots & -(K_n + T_{nn}) \end{pmatrix}$$

$$(B) = \begin{pmatrix} (L_1 + T_{11}) & T_{12} & \cdots & \cdots & T_{1n} \\ T_{21} & (L_2 + T_{22}) & \cdots & \cdots & T_{2n} \\ \vdots & \vdots & & & \vdots \\ T_{n1} & \cdots & \cdots & \cdots & (L_n + T_{nn}) \end{pmatrix} \quad (C) = \begin{pmatrix} -2(K_1 + T_{11}) & -2T_{12} & \cdots & \cdots & -2T_{1n} \\ -2T_{21} & -2(K_2 + T_{22}) & \cdots & \cdots & -2T_{2n} \\ \vdots & \vdots & & & \vdots \\ -2T_{n1} & \cdots & \cdots & \cdots & -2(K_n + T_{nn}) \end{pmatrix}$$

(6) 結論

一对辺自由な 3 一方向連続板に関する振動数方程式は式(12), (17)から分るごとく各元が m に関する 3 項数列で表わされ、エラベーションに関して無限の次数を持つ行列式であるので試算は 3 回東計算となる。なお本法と同様の手法により、直交異方性連続板の固有周期を算定することは可能であり、これがついては後日発表の予定である。

本研究は文部省科学研究費の補助を受け、記して謝意を表す。

(参考文献)

- (1) 倉田宗章: On Vibration of Continuous Rectangular Plates Proc. App Mech 1951
- (2) 山崎・橋木・横田: 連続等方性矩形板の固有周期算定法 昭和41年度土木学会西部支部研究発表会論文集
- (3) 山崎・橋木・横田: 四角一端モード連続板の解法 九大工学集報第40巻第2号